



LB. 1060. Detalle de las pizarras siluricas (S) en el ángulo SE de la Hoja.



LB. 1061. Vista parcial de los conglomerados y areniscas del Triásico inferior (T_{G1}) al Este de la localidad del Ciruelo



LB. 1062. Detalle de un nivel de conglomerados del Triásico inferior (T_{G1})



LB. 1063. Vista parcial de la unidad cartográfica (T_{G1-2} , areniscas y arcillas limosas) del Triásico inferior medio, en las proximidades de la localidad de Anguita.



LB. 1064. Vista parcial del farallón dolomítico del Triásico medio (T_{G-2}), en las proximidades de Anguita. Por debajo areniscas y arcillas del Triásico inferior-medio (T_{G1-2}), cubiertas por derrubios cuaternarios.



LB. 1065. Vista general de las dolomías del Triásico medio
(T_{G-2}) al NE de Aguilar de Anguita.



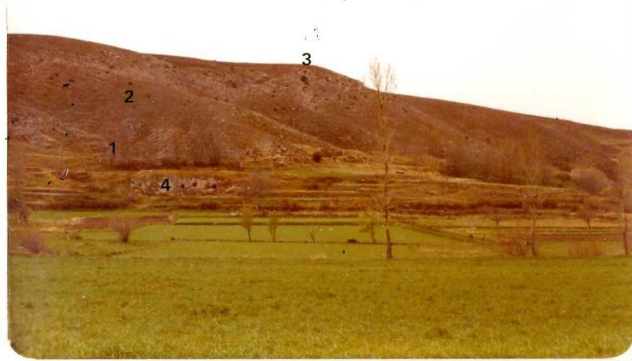
LB. 1066. Detalle de las dolomias del Triásico medio (T_{G2}).
Observase el carácter oqueroso y los nódulos de -
silex.



LB. 1067. Vista parcial de las dolomias tableadas y margas del Triásico medio-superior (T_{G2-3}), al borde de la carretera N-211. Al fondo las corniolas del Lias inferior (T_{G3-J1})



LB. 1068. En primer término margas del Triásico superior (T_{G3}). Al fondo (1) dolomías tableadas de la base de la unidad T_{G3-J1} .



LB. 1069. Vista general de la unidad T_{G3-J1} en las proximidades de Sagidas.

- 1.- Dolomías tableadas
- 2.- Tramo de transición
- 3.- Corniolas
- 4.- Terraza travertínica



LB. 1070. Detalle de las dolomias tableadas de la base de la unidad T_{G3-J1} (Dolomias tableadas de Imón)



LB. 1071. Vista parcial de las calizas y dolomias tableadas -
de Cuevas labradas (J_{1-13}^{0-12}), el Norte de la localidad
de Laina.



LB. 1072. Vista parcial de diversos afloramientos jurásicos al Sur de Maranchón.

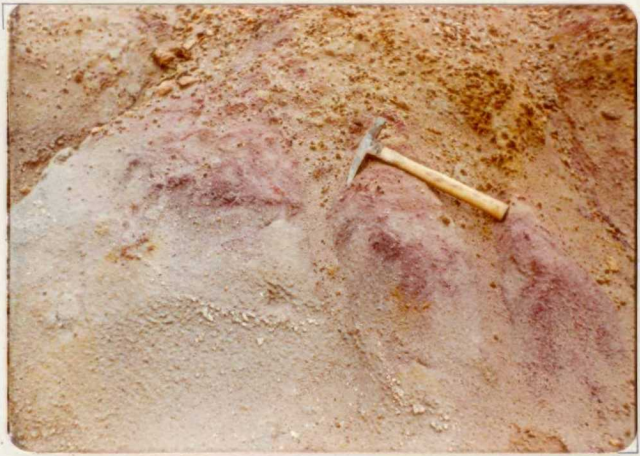
- 1.- Calizas y dolomias tableadas de Cuevas Labradas
 (J_{0-12}^{12-13})
- 2.- Margas de Cerro del Pez y calizas bioclásticas de Barahona (J_{12-13}^{12-33})
- 3.- Margas y calizas de Turmiel (J_{12-14}^{23-0})
- 4.- Tramo calizo superior (J_{14-22}^{14-22})



LB. 1073. Detalle de las margas de Cerro del Pez. Base de la
unidad J¹²⁻³³
13-13



LB. 1074. Detalle de las calizas bioclastica de Barahona
(J¹²⁻³³)
13-13



LB. 1075. Detalle de arenas versicolores de la Formación Utri
llas (C_{16-21}^{0-1}), en las proximidades de Sagides.



LB. 1076. Detalle de los conglomerados miocenos (T_{C1}^B) en el
ángulo NE de la Hoja